

تجزیه کیفی و کمی مو姆 مدلسازی و بررسی امکان

ساخت آن

Qualitative and Quantitative Analysis of Modelling Wax and the Study of Its Production

گلچهره خلیلی نجفی، جلیل مرشدیان

مرکز تحقیقات پلیمر ایران

دربافت: ۷۴/۵/۹، ۷۳/۷/۱۳، پذیرش:

چکیده

موهای دندانی که کاربرد زیادی در آزمایشگاهها و درمانگاههای دندانپزشکی دارند عمدتاً از خارج وارد می‌شوند. یکی از این موهای به نام مو姆 مدلسازی جهت برقراری ارتفاع عمودی لازم برای تراز کردن دندانهای مصنوعی به کار می‌رود.

در این پژوهش مو姆 مدلسازی که در داخل کشور مصرف زیادی دارد به وسیله روشهای دستگاهی و کلاسیک به طور کیفی و کمی تجزیه شد. بدین ترتیب که با استفاده از روشهای DSC، TG، GPC، IR، استخراج با حللا و کروماتوگرافی ستونی و لایه نازک ترکیبات مو姆 جداسازی و شناسایی شد و درصد هر یک از اجزای سازنده آنها تعیین گردید. سپس، با تهیه مواد اولیه مشابه نمونه اصلی، یک نمونه آزمایشی تهیه شد. خواص فیزیکی نمونه اصلی و نمونه ساخته شده نظیر دمای ذوب، گرانزوی، نفوذپذیری، سختی، چگالی، نقطه ریزش، استحکام کششی و ضربه پذیری اندازه گیری و مقایسه شد. با توجه به نتایج حاصل می‌توان نتیجه گرفت که ساخت مو姆 مدلسازی با استفاده از مواد داخلی به آسانی امکان‌پذیر است.

واژه‌های کلیدی: تجزیه، مو姆 مدلسازی، مو姆 ریزپلوری، مو姆 پارافینی، مو姆 کارنوبل

Key Words: analysis, modelling wax, microcrystallin wax, paraffin wax, carnauba wax

قالبگیری است.

موهای الگوبرداری برای شکل دادن به مواد ترمیمی مختلف دندانی به کار می‌روند که بعداً به وسیله مواد محکمی نظیر آلبیازهای طلا-کبالت، کرم-نیکل یا رزین پلی متیل متاکریلات جایگزین می‌شوند و انواع آنها عبارت اند از: مو姆 الگوبرداری درونی و ریختگی و مو姆 مدلسازی (modelling wax). مو姆 مدلسازی جهت برقراری ارتفاع لازم برای تراز کردن آن روی مدل دندانهای مصنوعی و ایجاد قوس اصلی برای پیاده کردن آن روی مدل در ساخت پروتز کامل به کار می‌رود. این نوع مو姆 عمدتاً از موهای

مقدمه

موهای دندانی عمدتاً از موهای طبیعی و سنتری به همراه رزین و انواع رنگدانه‌ها تشکیل می‌شوند. درصد این اجزا در مو姆 دندانی خواص فیزیکی-مکانیکی و در نتیجه کاربرد ویژه آن را تعیین می‌کند. این نوع موها در مراحل مختلف دندانسازی ترمیمی از قبیل قالبگیری و الگوبرداری از دندانها و سایر نسوج آسیب دیده حفره دهان با ثبت دقیق جزئیات آنها به کار می‌روند. تقسیم‌بندی متعارف موهای دندانی بر اساس کاربرد آنها در جدول ۱ نشان داده شده است که شامل موهای الگوبرداری، کمکی و

جدول ۱ - تقسیم‌بندی متعارف موشهای دندانی [۳-۱].

قالبگیری	کمکی	الگوبرداری
تصحیح	جبهه‌ای	درومنی
گازگیری	دیواره‌ای	ریختنگی
	چسبی	مدلسازی

عبارت‌اند از: پلی‌اتیلن با وزن مولکولی ۲۰۰۰ تا ۴۰۰۰، پلی‌اکسی‌اتیلن گلیکول، هیدروکربنهاي هالوژن‌دار و آميدهای اسید چرب. در بین موشهای طبیعی، موشهای پارافین و ریزبلوری جزء اصلی موشهای دندانی را تشکیل می‌دهند [۴،۵] موم پارافین مخلوطی از هیدروکربنهاي آلکانی زنجیری و شاخه‌دار با ۳۰ تا ۲۶ درجه اتم کردن و به صورت توده‌ای سفید رنگ است. گرانزوی و چگالی آن در ۱۰۰°C به ترتیب در حدود ۷۵/۵ g/cm³ و ۸۹۸-۰/۹۱۵ g/cm³ است. انواع تجاری متداول پارافین دارای محدوده دمای ذوب ۴۰ تا ۷۰°C است، به طوری که دمای ذوب با زیاد شدن وزن مولکولی افزایش می‌یابد.

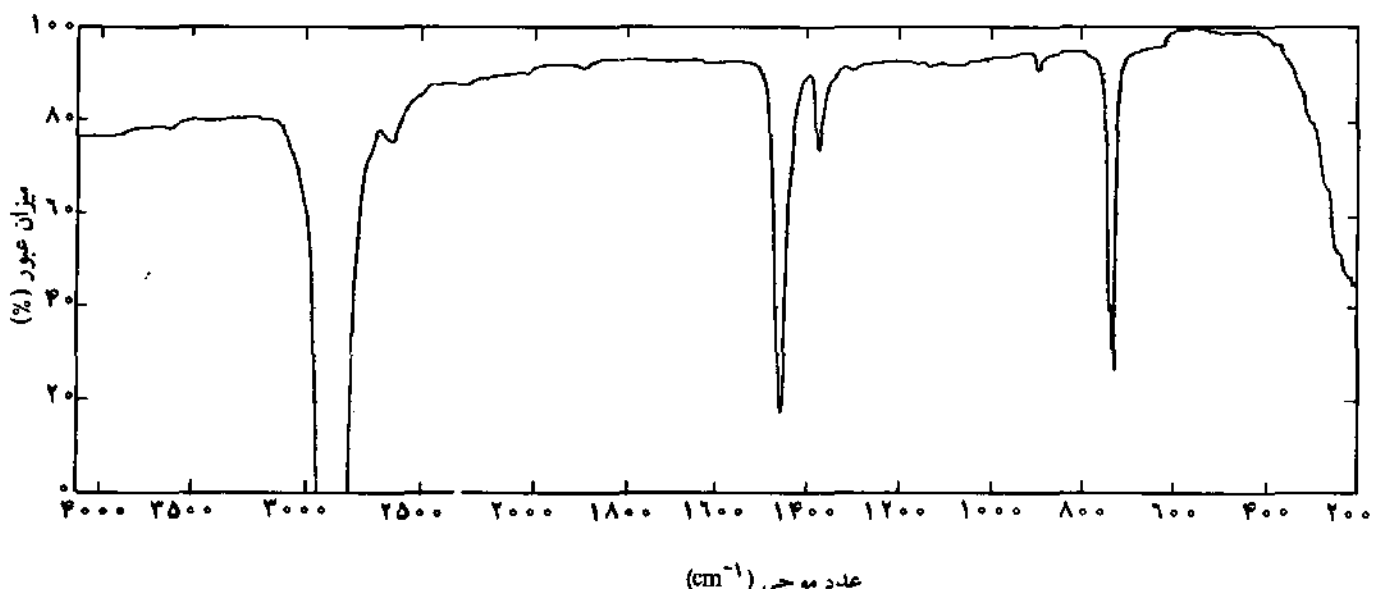
موم ریزبلوری از نظر ساختار شیمیایی شبیه موشهای پارافین است، با این تفاوت که درصد بیشتری از هیدروکربنهاي شاخه‌دار با ۴۱ تا ۵۵ اتم کردن دارد و دمای ذوب آن بین ۶۰ تا ۹۱°C است. به علاوه، انعطاف‌پذیری و چفرمگی آن بیشتر از موشهای پارافینی است که این ویژگی علت استفاده از آنها در موشهای دندانی است [۶،۷].

موشهای هیدروکربنی مانند پلیمرهای دیگر در معرض واکنشهای تخریب قرار می‌گیرند، این واکنشها معمولاً در برابر اکسیژن روی می‌دهد و توسط نور و گرمای نور تشدید می‌گردد. موشهای دندانی معمولاً در دماهای ۱۰۰-۱۵۰°C فراورش می‌شوند که بدون پایدارسازی تخریب آنها حتی است، بویژه آنکه حذف کامل اکسیژن از محیط فراورش امری دشوار است و غلظت بسیار کم اکسیژن در دمای بالا اثر کاتالیزوری شدیدی بر تخریب موم مناسب دارد. تخریب که در

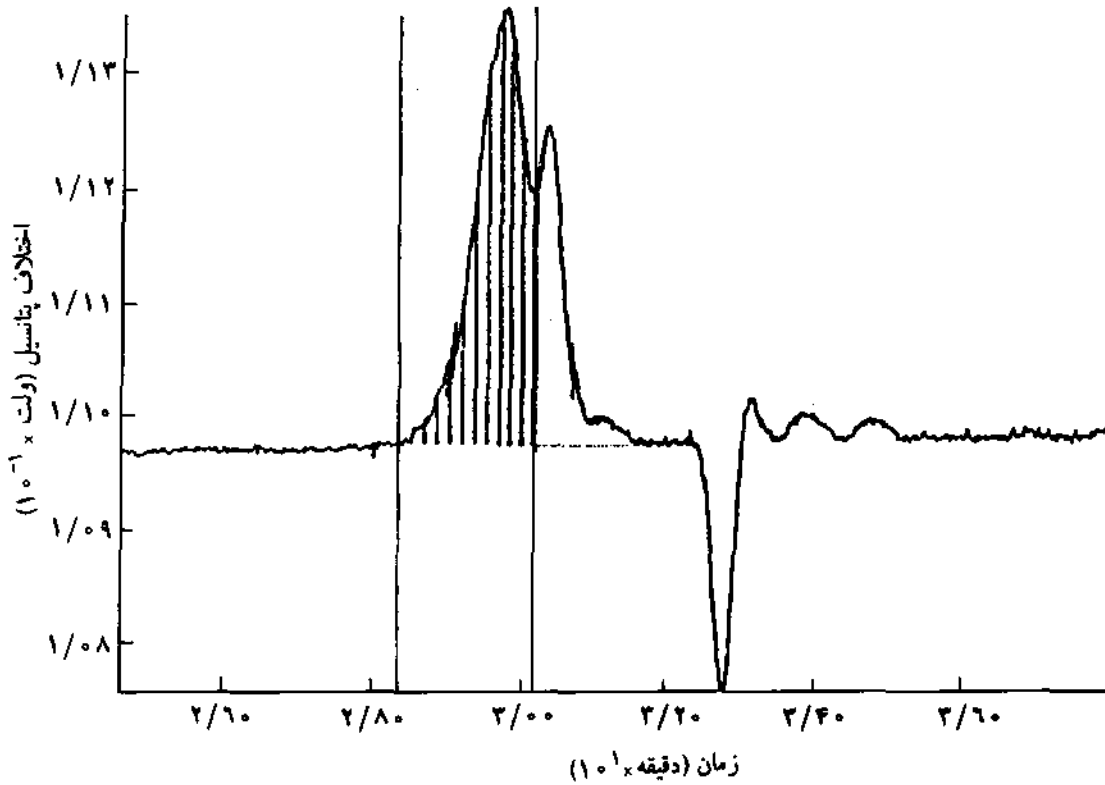
طبیعی ساخته می‌شود [۱-۳]. موشهای کمکی در مراحل تهیه پروتراهای دندانی برای اتصال و جفت کردن موقع قطعات فلزی یا رزینی در یک وضعیت ثابت یا برای ساختن لبه‌های سینی قالبگیری و جلوگیری از تغییر شکل ماده قالبگیری به کار می‌روند. موشهای قالبگیری برای تهیه قالب منفی و ثبت دقیق جزئیات بافت‌های نرم یا به منظور جفت کردن دقیق قالبهای دندانی مقابل هم به کار می‌روند. موشهای طبیعی که در ساخت موشهای دندانی مصرف می‌شوند بر اساس منابع آنها تقسیم‌بندی می‌شوند که عبارت‌اند از: معدنی، گیاهی و حیوانی.

موشهای معدنی شامل پارافین، ریزبلوری (microcrystalline)، او佐کریت، سرزین و مونتان است. موشهای گیاهی شامل کارنوبا، کاندلیلا، ژابن و مهمترین نوع حیوانی موم زنبور عسل است.

علاوه بر موشهای طبیعی، امروزه از موشهای سنتری نیز برای تعدیل بعضی خواص موشهای دندانی استفاده می‌شود. این موشا



شکل ۱ - طیف IR مخلوط موم ریزبلوری و پارافین جداسازی شده از موم مدلسازی.



شکل ۲- رنگ‌نگاشت GPC مخلوط مومن ریزبلوری و پارافین جداسازی شده از مومن مدلسازی.

ساخت مومن مدلسازی مورد بحث قرار می‌گیرند.

مواد

مومن مدلسازی مورد شناسایی ساخت شرکت دتری (Detrey) انگلستان با نام تجاری wax modelling است.

موادی که برای ساخت مومن دندانی به کار گرفته شدند عبارت‌اند از: موادی پارافین (محدوده دمای ذوب ۵۸ تا ۶۰°C)، ریزبلوری (محدوده دمای ذوب ۶۰ تا ۶۲°C) و کارنویا (محدوده دمای ذوب ۷۹ تا ۸۱°C) که از منابع داخلی تأمین شدند. رنگ قرمز سودان (Sudan III)، ضدآکسنده دی-ا-بوتیل پاراکرزول (DBPC) و کوپلیمر استیرن-آکریلونیتریل از شرکت مرک تهیه شد و حللاهای بتزن، هپتان نرمال، متانول و متیل اتیل کتون نیز برای شناسایی مصرف شدند.

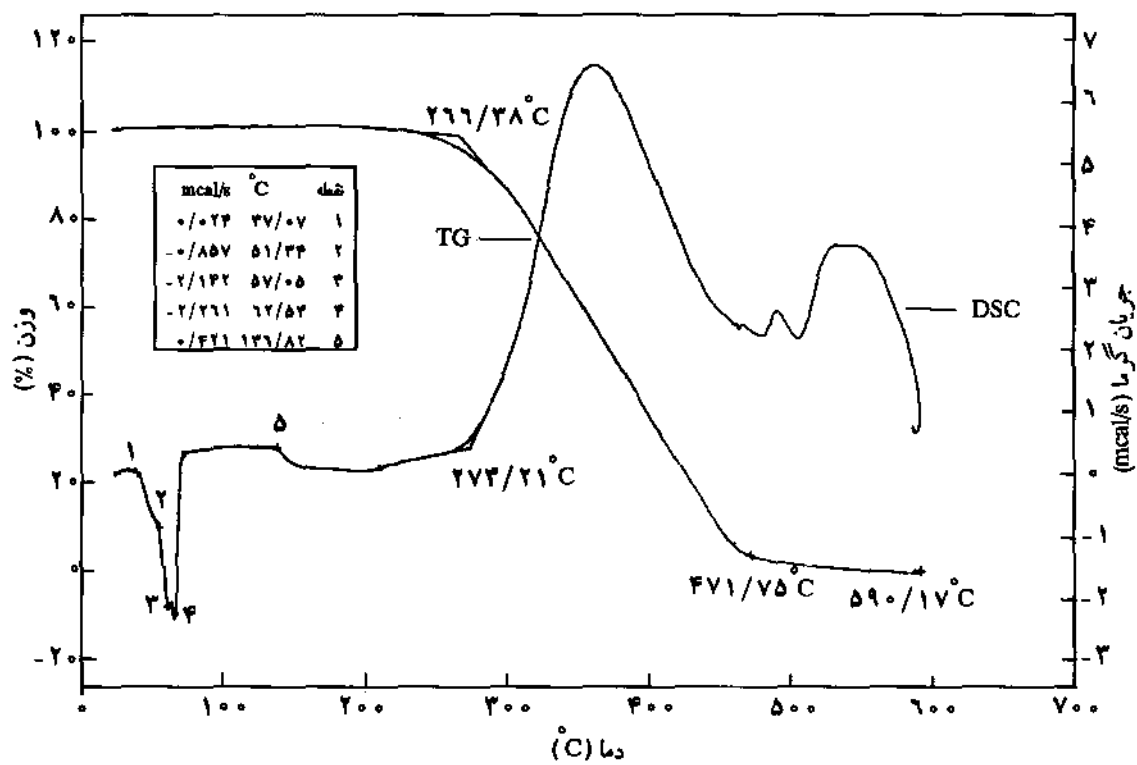
دستگاهها

دستگاه‌های مورد استفاده برای شناسایی و تعیین خواص عبارت‌اند از: دستگاه طیف‌سنجی زیرقرمز (Waters ۹۷۱۲)، کروماتوگرافی ژل تراوایی (C-15)، دستگاه تجزیه گرم‌مازنی-گرم‌استجی (TG-DSC)، پویشی تفاضلی، PL-STA ۶۲۵، TG-DSC، گرانزوی سنج استوالد،

درجه اول مشخصات وزن مولکولی را تغییر می‌دهد، می‌تواند موجب تغییر رنگ و گرانزوی، افت خواص فیزیکی، کاهش شفافیت و ترکهای ریز در سطح و سرانجام عدم کارآیی مومن گردد. برای جلوگیری از تغییر موادی هیدروکربنی معمولاً از ضدآکسنده دی-ا-بوتیل پاراکرزول (DBPC) استفاده می‌شود که از نظر بهداشتی مورد تایید است.

موادی پارافینی در کاربردهای مختلف از جمله در مصارف موادی دندانی باید خواص متفاوتی داشته باشند. بنابراین، برای ایجاد خواص مطلوب در پارافین مورد استفاده، برای کاربردی خاص می‌توان از اختلاط آن با پلیمرها و موادی ریزبلوری استفاده کرد. این پلیمرها عبارت‌اند از: پلی‌اتیلن، پلی‌ایزو بوتیلن و کوپلیمرهای اتیلن-وینیل استات، اتیلن-اتیل آکریلات و اتیلن-ایزو بوتیلن آکریلات و همچنین آمیدهای اسید چرب و سایر رزینهای طبیعی و سنتزی. در اثر مخلوط شدن پارافین شکننده با استحکام کششی پایین با این مواد افزودنی خواص مومن پارافین بهبود می‌یابد. به عبارتی پذیری، استحکام کششی و دمای ذوب آن افزایش می‌یابد (۸).

تجزیه در این بخش مواد، دستگاهها و روش‌های به کار رفته در شناسایی و



شکل ۳- گرمانگاشت DSC و TG مخلوط مو م ریزبلوری و پارافین جداسازی شده از مو م مدلسازی (سرعت گرمادهی تا 150°C ، $5^{\circ}\text{C}/\text{min}$ و پس از آن $10^{\circ}\text{C}/\text{min}$ است).

فاز ساکن و هپتان نرمال به عنوان فاز متحرک استفاده شد. در نتیجه، مقدار $95/7$ درصد مو هیدروکربنی از نمونه به دست آمد. مقدار روغن این مو م مطابق روش ASTM D ۷۲۱ برابر $1/5$ درصد تعیین شد. در این روش، نمونه در متیلن اتیل کتون حل و تا 32°C - سرد شد و تغییر حلال درصد وزنی روغن باقیمانده محاسبه شد.

مقداری از مو م هیدروکربنی جدا شده در تراهیدروفوران (THF) حل شد تا محلولی با غلظت $1/0$ درصد به دست آید و به وسیله GPC وزن مولکولی مو م تعیین شد. در این آزمایش تراهیدروفوران به عنوان فاز متحرک در دمای 30°C با دبی حجمی $1/5$ میلی لیتر در دقیقه مورد استفاده قرار گرفت.

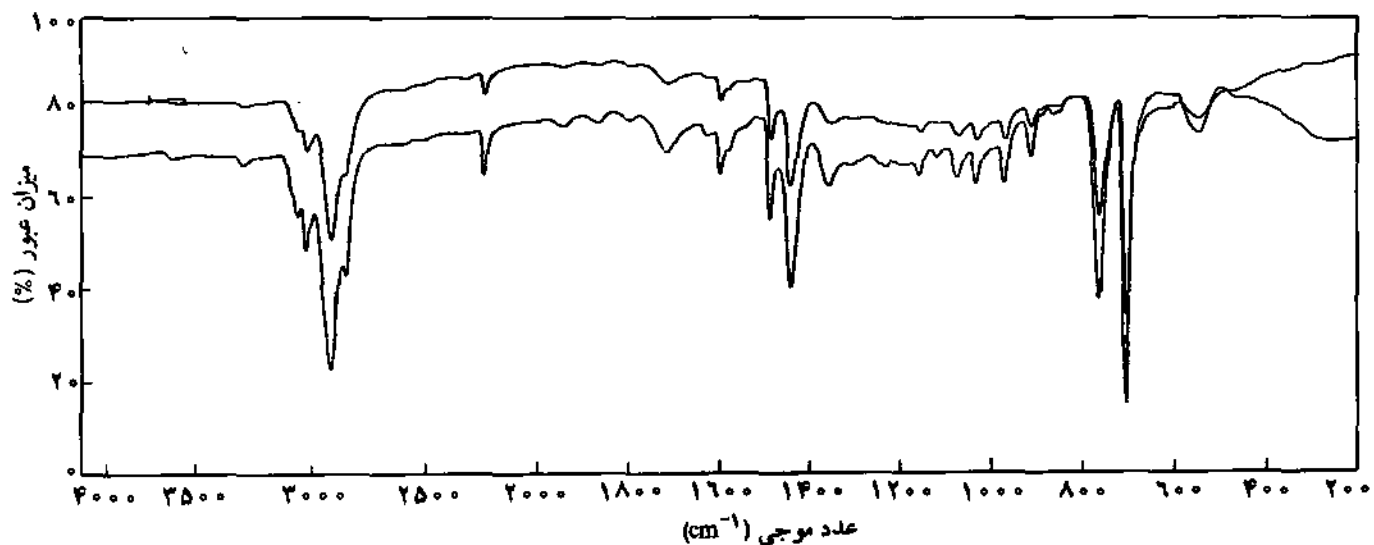
در رنگ نگاشت حاصل (شکل ۲) دو پیک مجزا و نزدیک به هم مشاهده می شود که پیک اول با وزن مولکولی متوسط 800 مربوط به مو م ریزبلوری و پیک دوم با وزن مولکولی متوسط 340 مربوط به مو م پارافین است. به علاوه، مو هیدروکربنی با TG-DSC مورد تجزیه گرمایی قرار گرفت. گرمانگاشت TG تغییرات وزن بر حسب دما و گرمانگاشت DSC تغییرات گرمایی آزاد شده یا جذب شده را بر حسب دما ($\frac{dQ}{dt}$) نشان می دهد. گرمانگاشت مو م هیدروکربنی (شکل ۳) نشان

سختی سنج A، Zwick-Shore A، چگالی سنج Daventest، دستگاه کشش Instron ۶۰۲۵، دستگاه اندازه گیری ضربه پذیری Zwick و نفوذ سنج Zwick

نتایج

تجزیه و شناسایی مو اصلی مو م مدلسازی مورد آزمایش دارای چقلمگی مناسب و محدوده دمای کاربرد وسیعی است. برای تجزیه و جداسازی اجزای این مو ابتدا روش حللا-ضدحلال به کار گرفته شد. بدین ترتیب که مقداری از نمونه در حللال بینزین در دمای محیط حل شد و به آن ضد حللال مثانول افزوده گردید. در نتیجه، روسب سفید رنگی به وجود آمد که پس از جداسازی از حللال طیف IR آن گرفته شد. این طیف در شکل ۱ نشان داده شده است و مشخصات آن با طیف IR مو م پارافین مطابقت دارد [۹].

قابل توجه است که با این روش جزء هیدروکربنی موجود در نمونه کاملاً جداسازی نمی شود. بنابراین، برای تعیین درصد جزء هیدروکربنی از روش کسرو-ماتوگرافی سنتونی مطابق با استاندارد ASTM D ۱۳۴۲-۸۲ استفاده شد. در این روش از آلومین به عنوان



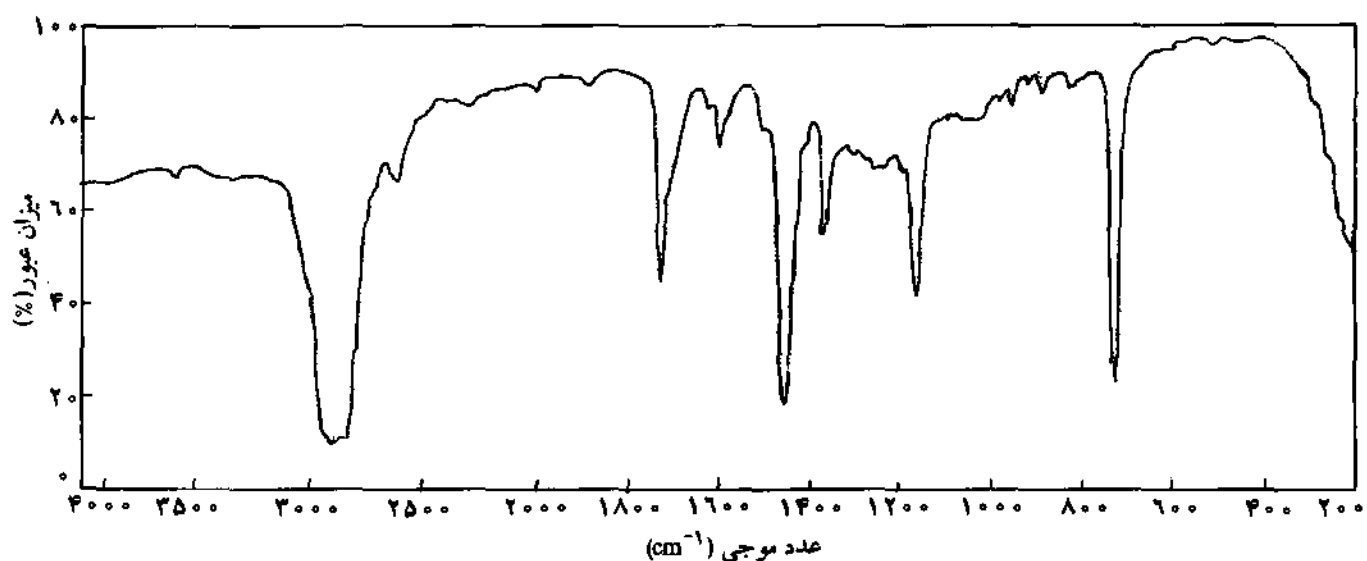
شکل ۴ - طیف IR رزین جداسازی شده از موم مدلسازی.

می شود که طیف IR آن در شکل ۴ نشان داده شده است. از مقایسه آن با اطلس IR [۱۲] مشخص می شود که این فیلم از کوبالیمر استرین-آکریلوپنتریل تشکیل شده است و برای بهبود شکل پذیری و افزایش دامنه ذوب به موتها اضافه می شود. مقدار این جزء ۵٪ درصد است.

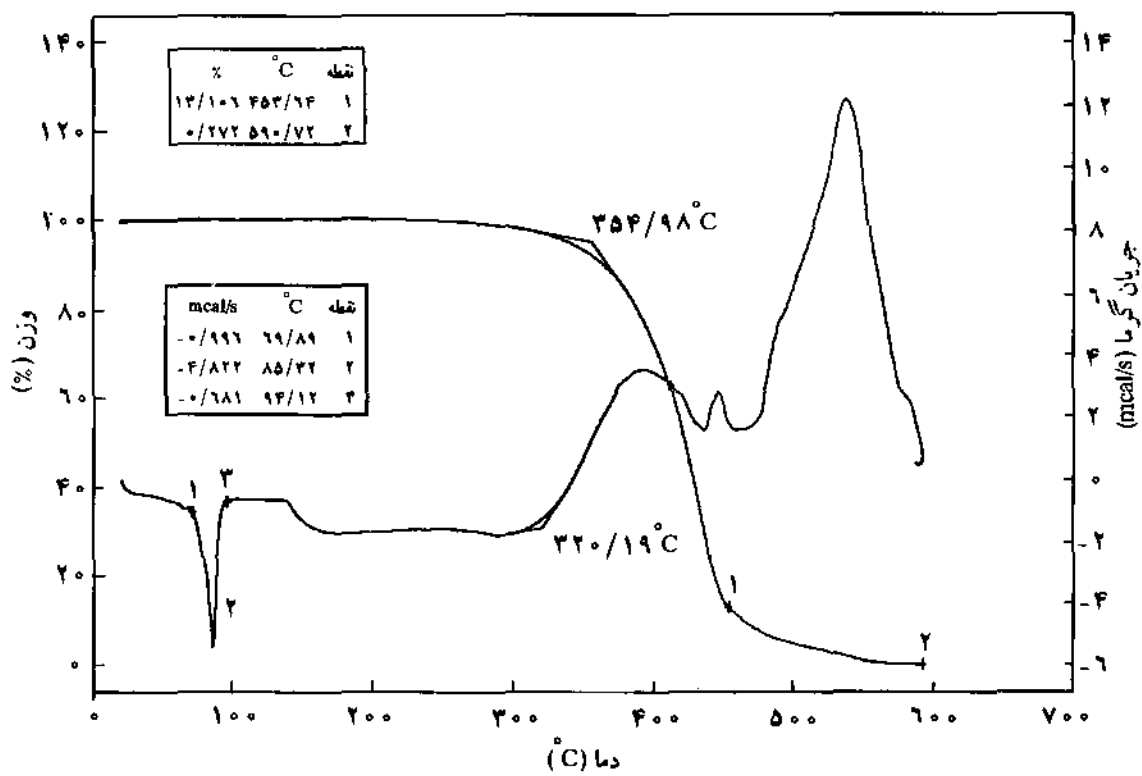
برای اطمینان از جداسازی کامل موتها هیدروکربنی از اجزای دیگر، عدد صابونی شدن موم هیدروکربنی طبق روش استاندارد ASTM D ۹۸ تعیین شد که مقدار آن برابر ۱/۹۶ بودست آمد. مطابق این روش استاندارد می توان نتیجه گرفت که موم هیدروکربنی به طور

دهنده دو جزء پارافینی و ریزبلوری به ترتیب در دماهای ذوب ۵۷ و ۶۲°C است. در ضمن یکی در ۴۷°C ظاهر شد که مربوط به تغییر حالت بلوری موتها هیدروکربنی است. همچنین، در این گرمانگاشت نقطه شروع تخریب موم در دمای ۲۷۲/۲۱°C مشاهده می شد [۱۰، ۱۱]. بدین ترتیب ثابت می شود که موم هیدروکربنی جدا شده از نمونه، مخلوطی از دو موم پارافین و ریزبلوری است.

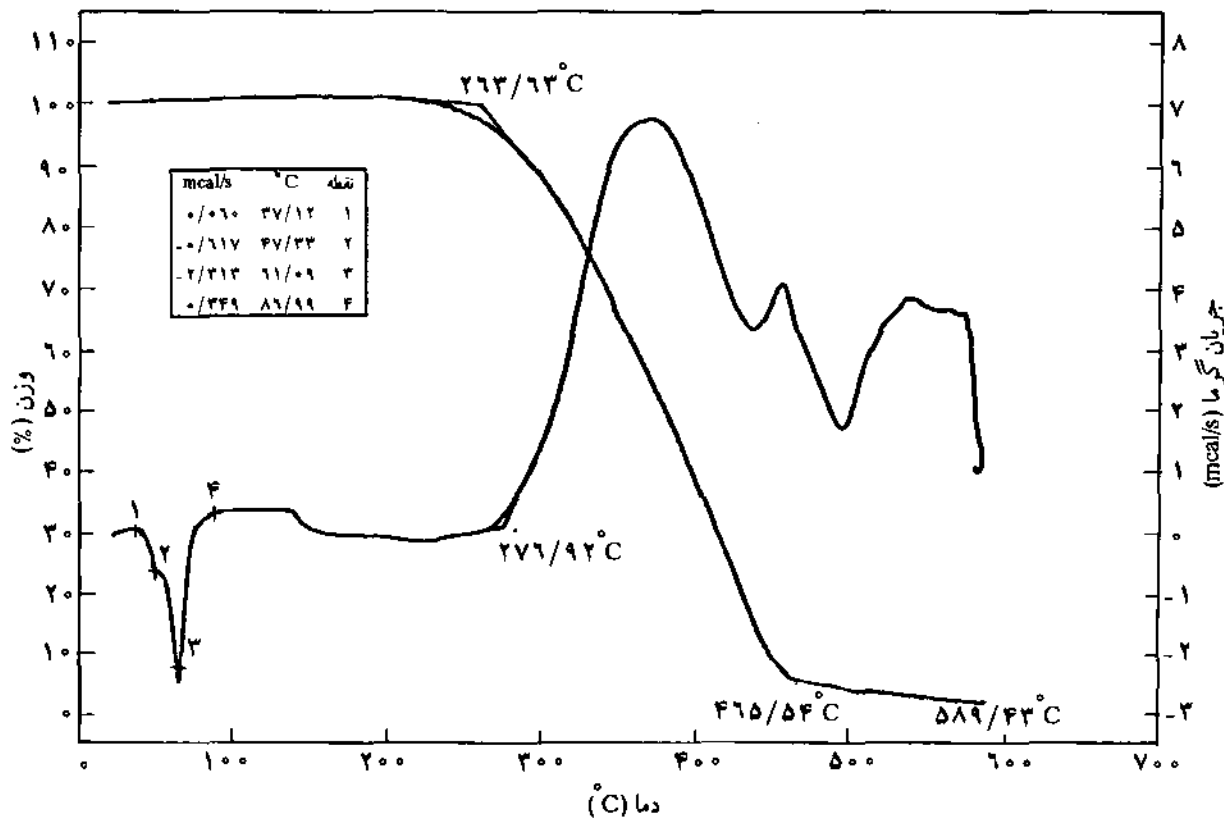
در روش تعیین کمی جزء هیدروکربنی، پس از اینکه تمام محتويات محلول موم در حلال هپتان به ستون کروماتوگرافی منتقل شد، فیلمی از تهشین شدن ذرات بسیار ریز رزین در ظرف محلول تشکیل



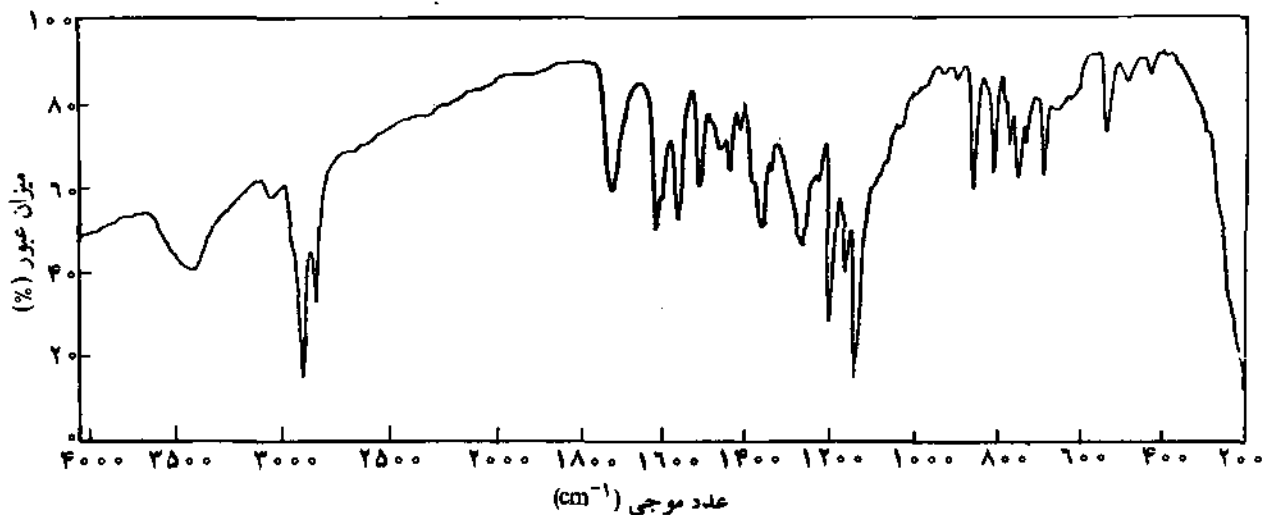
شکل ۵ - طیف IR موم کارنویا ای جداسازی شده از موم مدلسازی.



شکل ۶- گرماگشت DSC و TG موم کارنویا جداسازی شده (سرعت گرمادهی $15^{\circ}\text{C}/\text{min}$ ، $5^{\circ}\text{C}/\text{min}$ و پس از آن $10^{\circ}\text{C}/\text{min}$ است).



شکل ۷- گرماگشت DSC و TG موم مدلسازی (سرعت گرمادهی $150^{\circ}\text{C}/\text{min}$ ، $5^{\circ}\text{C}/\text{min}$ و پس از آن $10^{\circ}\text{C}/\text{min}$ است).



شکل ۸- طیف IR رنگ جداسازی شده از موم مدلسازی.

باقیمانده پس از تبخیر حلال توزین شد. از آنجاکه رنگهای محلول در چربی به میزان کم در حد ppm اضافه می‌شوند، مقدار موم کارنویا بدین ترتیب برابر $4/25$ درصد به دست آمد.

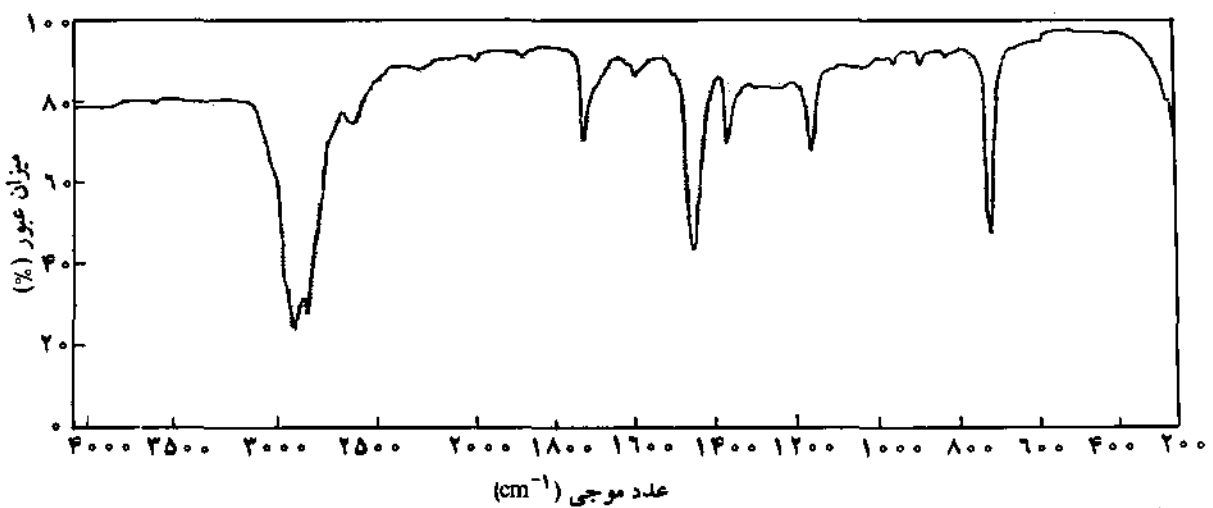
برای شناسایی رنگ، مقدار کمی از نمونه در حلال بتزن حل شد که بدین ترتیب رنگ به همراه جزء هیدروکربنی جداسازی شد. سپس به این محلول مقدار $2/00$ گرم سیلیکاژل اضافه شد تا رنگ را جذب کند. در مرحله بعد دانه‌های سیلیکاژل توسط کاغذ صافی جدا گردید. برای جداسازی موم جذب شده از رنگ، سیلیکاژل به وسیله 5 میلی لیتر هیتان جوشان شسته و محلول زیر صافی تبخیر شد تا تمام

حلال خارج شود که با سردکردن پسر موم جذب شده رسوب کرد. در مرحله بعد دانه‌های قرمز رنگ سیلیکاژل به یک ستون کروماتوگرافی که با سیلیکاژل به طور یکنواخت پوشیده بود، اضافه شد و

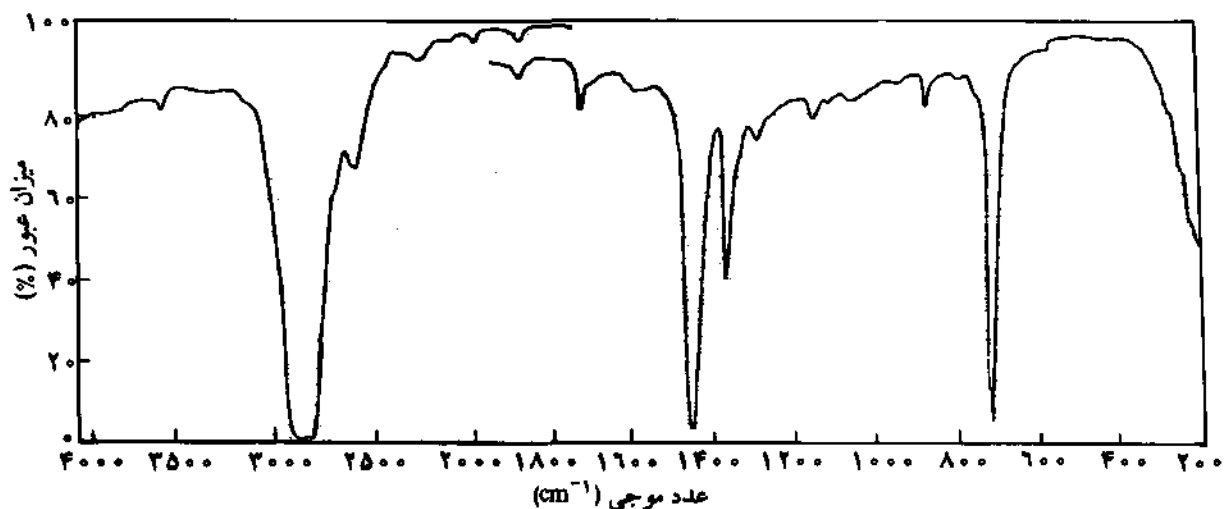
خالص از اجزای دیگر جدا شده است.

در مرحله بعد از جزء نامحلول نمونه در حلال بتزن طیف IR تهیه شد (شکل ۵) که با طیف IR موم کارنویا مطابقت داشت [۱]. همچنین گرمانگاشت TG-DSC این جزء گرفته شد (شکل ۶) که از مقابسه آن با گرمانگاشتهای موم مدلسازی (شکل ۷) و جزء هیدروکربنی (شکل ۳) معلوم می‌شود که افزایش موم کارنویا سبب افزایش دما و محدوده ذوب موم هیدروکربنی می‌شود و به دلیل سازگاری موم کارنویا با موم هیدروکربنی در گرمانگاشت DSC موم مدلسازی یک پیک گرماگیر ذوب مشاهده می‌شود [۱۲].

برای تعیین کمی موم کارنویا، پس از خارج شدن تمام جزء هیدروکربنی از آن، ستون کروماتوگرافی با متانول شستشو داده شد. در نتیجه، موم کارنویا به همراه رنگ صورتی نمونه خارج گردید و



شکل ۹- طیف IR موم مدلسازی.

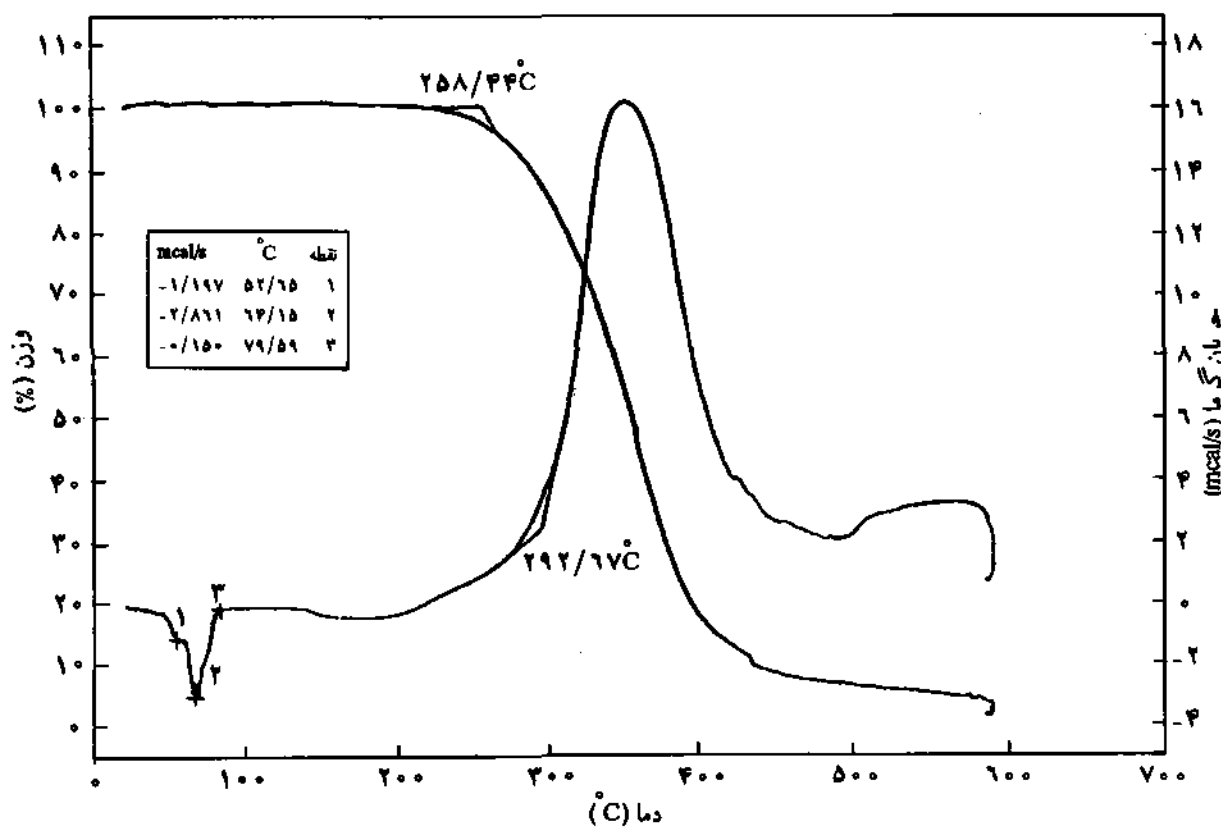


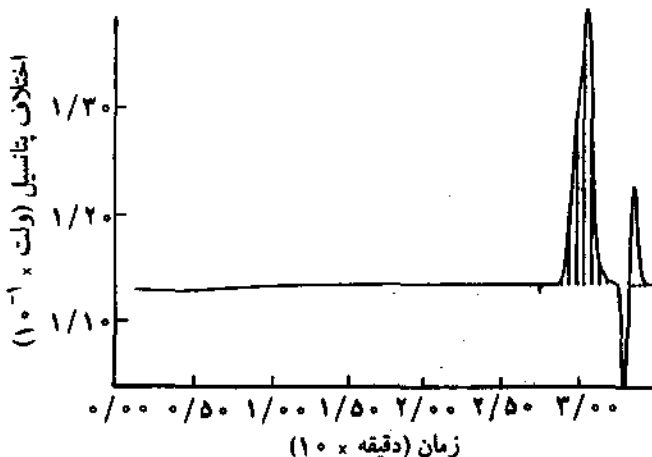
شکل ۱۰ - طیف IR موم ساخته شده.

۱۰:۹ استفاده شد و طیف IR آن دوباره به دست آمد (شکل ۸) که جدایی کامل موم از رنگ را تایید می کند.

با توجه به طیف IR رنگ معلوم می شود که این ماده رنگی آلوی به فرمول $[\text{Fe}(\text{Azro})_2(\text{Ph}_2)]$ - (فیل آزو)-[فیل آزو] - ۲ - نفتانول و نام تجاری

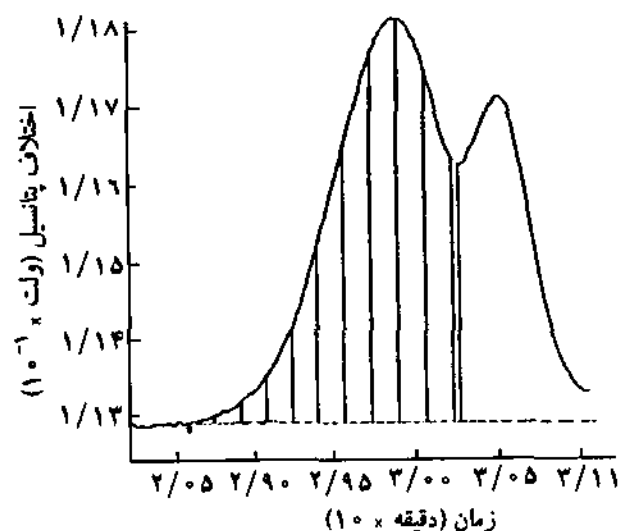
رنگ به وسیله ۱۰۰ میلی لیتر مخلوط حلالهای بتنز-مثانول به نسبت ۸۰:۲۰ جداسازی شد. از طیف IR رنگ معلوم شد که با مقدار کمی موم هیدروکربنی همراه است. برای خالص سازی بیشتر رنگ از روش کروماتوگرافی لایه نازک با مخلوط حلالهای مثانول-بتنز به نسبت

شکل ۱۱ - گرماگشت TG و DSC موم ساخته شده (سرعت گرمادهی تا $150^{\circ}\text{C}/\text{min}$ ، $150^{\circ}\text{C}/\text{min}$ و پس از آن $10^{\circ}\text{C}/\text{min}$ است).



شکل ۱۲ - رنگ نگاشت GPC موم ساخته شده.

مقایسه موم مدلسازی و موم ساخته شده در جدول ۲ نشان داده شده است [۱۵].



شکل ۱۲ - رنگ نگاشت GPC موم مدلسازی.

آن Sudan III است [۱۶].

مقایسه طیفهای IR، GPC و TG-DSC

مقایسه طیف IR موم مدلسازی (شکل ۹) و نمونه ساخته شده (شکل ۱۰) شباهت ترکیب شیمیایی آنها را نشان می‌دهد. از مقایسه گرمانگاشتهای TG-DSC موم مدلسازی (شکل ۷) و موم ساخته شده (شکل ۱۱) معلوم می‌شود که دما و محدوده ذوب و نقطه شروع تحریب آنها نیز مشابه است. علاوه بر این، با مقایسه رنگ نگاشتهای GPC موم مدلسازی (شکل ۱۲) و موم ساخته شده (شکل ۱۳) تشابه نسبی اجرا و وزن مولکولی آنها مشخص می‌شود.

ساخت نمونه آزمایش اختلاط مواد اولیه موتها پارافین، ریز بلوری و کارنویا و همچنین رنگ قرمز سودان، ضد اکستنده و کوپلیمر استیرن-آکریلونیتریل در یک بشر ۲۵۰ میلی لیتری که در یک حمام روفن سیلیکون در دمای ۱۲۰°C به وسیله یک همز مکانیکی انجام شد. درصد مواد در مخلوط برابر مقدار بدست آمده از نتایج تجزیه نمونه اصلی بود.

مقایسه خواص فیزیکی و مکانیکی موتها

ابتدا موم ساخته شده به ضخامت موم مدلسازی قابل‌گیری شد. سپس، از ورقهای به دست آمده و همچنین ورق موجود موم مدلسازی مطابق استانداردهای زیر نمونه‌های تهیه شد و آزمایش‌های فیزیکی-مکانیکی مربوطه روی آنها انجام گرفت. نتایج اندازه‌گیری شده برای

جدول ۲ - مقایسه خواص اندازه‌گیری شده موم مدلسازی و موم ساخته شده.

D122-86	D127-87	DIN52504	D252	D2240	D1505	D445-86	استاندارد
نفوذپذیری (۰/۰۱ mm)	نقطه ذوب °C	استحکام کششی (N/mm ²)	ضریب پذیری (J/mm)	سختی (%)	چگالی (g/cm ³)	گرانزوی در دمای ۱۰۰°C (cSt)	نوع موم
۹ ۹/۷	۷۶ ۷۸	۱/۲۵ ۱/۲۹	۴۵ ۴۸/۸	۸۱ ۸۲	۰/۹۴۲ ۰/۹۶۵	۹/۷۸ ۱۰/۲	موم مدلسازی موم ساخته شده

- 2 American Dental Association; *Guide to Dental Materials and Devices*; 297-320, 1974.
- 3 Skinner E.W. and Phillips R.; *Science of Dental Materials*; Marcel and Dekker, Toronto, 130-215, 1965.
- 4 Craig R.G. and Peyton F.A.; *J. Dent. Res.*; 44, 6, 1306-1316, 1980.
- 5 Ohashi M.; *J. Am. Dent. Assoc.*; 72, 1141-1150, 1966.
- 6 Freund M. and Csikos R.; *Paraffin Products: Properties, Technologies and Applications*; John Wiley and Sons, New York, 1982.
- 7 Mc Mahon G.S. and Wood J.A.; *Petroleum Waxes*; John Wiley and Sons, New York, 1984.
- 8 Warth A.K.; *The Chemistry and Technology of Waxes*; Mc Millan Press, 1, 300-500, 1986.
- 9 *Atlas of Polymer and Plastics Analysis*; Hümmel and Scholl, 2, 353, 1985.
- 10 Mackenite R.C.; *Differential Thermal Analysis*; Academic Press, 1980.
- 11 Brown M.E.; *Introduction to Thermal Analysis*; Reinhold, New York, 1988.
- 12 *Atlas of Polymer and Plastics Analysis*; Hümmel and Scholl, 1, 353, 1985.
- 13 Craig R.G.; *J. Dent. Res.*; 50, 450-454, 1971.
- 14 *Atlas of Organic Materials*; Sadtler Research Laboratories, 1962.
- 15 Powers J.M. and Thermal R.G.; *J. Dent. Res.*; 57, 37-50, 1978.

رنگ و ضد اکسیده تشکیل شده است که ترکیبات یاد شده را می توان به وسیله روشهای کروماتوگرافی و استخراج با حلalهای بتزن، متانول و هپتان نرمال از یکدیگر جدا سازی کرد.

۲ - مقدار عدد صابونی شدن پارافین جدا شده از نمونه و مقایسه آن با مقدار داده شده در روش استاندارد ASTM D۹۸ بیانگر کارایی روش جدا سازی مورد استفاده است.

۳ - با دستگاههای GPC و DSC می توان دو جزء پارافین و ریزبلوری موجود در مو میدروکربنی را جدا سازی کرد.

۴ - نتایج تجزیه کمی مو مدلسازی به قرار زیر است: موهای پارافین و ریزبلوری ۷/۵ درصد، مو مکارنوبی ۴/۲۵ درصد، کوبالیم استیرن-آکریلونیتریل حدود ۰/۵ درصد و رنگ در حدود ۰/۰۰۱ گرم که رنگ مصرفی در آن ترکیب ۱-۱-۳-۴ (فنیل آزو) - فنیل آزو] آزو] ۲-۲- نفتانول و ضد اکسیده آن از نوع دی-بوتیل پاراکرزویل است.

۵ - مقدار روغن مو میدروکربنی (پارافین + ریزبلوری) حدود ۱/۵ درصد مو مربوط است.

۶ - اختلاط مواد حاصل از تجزیه جهت ساخت مو مدلسازی به آسانی امکان پذیر است.

۷ - با مقایسه نتایج تجزیه گرمایی، رنگ نگاری و طیف نمایی و همچنین خواص فیزیکی، شباهت مو ساخته شده به مو مدلسازی وارداتی تایید می شود.

۸ - ساخت موهای دندانی بویژه مو مدلسازی با استفاده از مواد تهیه شده در داخل کشور در مقیاس بالا و به آسانی امکان پذیر است.

مراجع

- 1 Craig R.G. and Peyton F.A.; *Restorative Dental Materials*; Henry Kimpton, London, 206-297, 1985.